



**IGME**

**296**

**39 - 12**

## **MAPA GEOLOGICO DE ESPAÑA**

**E. I: 50.000**

### **TORROELLA DE MONTGRÍ**

**DOCUMENTACION COMPLEMENTARIA  
(FOTOGRAFIAS)**

**inypsa**

**INFORMES Y PROYECTOS, S. A.**

**DICIEMBRE - 1.979**



Foto 20. - Niveles cuarcíticos intercalados a techo de la - serie esquistosa (Castillo de San Julian de Ramis).



Foto 21.- Calizas devónicas  $S_2^B$  -  $D_1$  aflorantes por debajo  
del Castillo de San Juliá de Ramis.



Foto 22. - Detalle de los conglomerados anteriores.  
Discordancia con los materiales paleozóicos  
infrayacentes.



Foto 23. - Otro aspecto de la misma unidad.



Foto 24. - Vista general de la unidad basal paleógena  $T_{c1}$  -  $21^1$   
A -  $A_b$   
en el corte de la autopista cerca de Costa Roja



Foto 25. - Aspecto general de la unidad  $T_{A_{b1}} - A_{b1}$ , en primer término, Sarriá de Ter. 21 - 22



Foto 26. - Detalle y explotación de las calizas anteriormente citadas.



$Ab_3 - Ab_1$

Foto 27. - Unidad T 21 - 22 constituida por margas nodulosas de tonos azules, en la Ctra. Sarriá de Ter-Bañolas, entre Can Masovel y Can Casals.

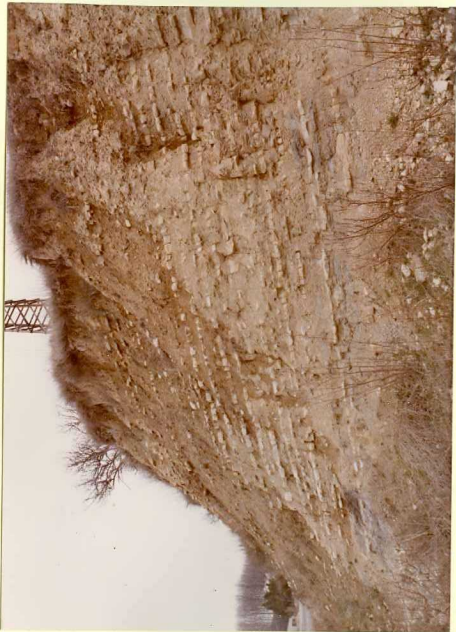


Foto 28. - Detalle de la misma unidad.



Ab<sub>2</sub> - Ac

Foto 29. - Aspecto de la unidad T<sub>22</sub> - 21 en las proximi-  
dades de San Juan de Mollet, en la Carretera de  
la Biñbal.



$Ab_3 - Ac$

Foto 30. - Calizas blancas con corales Tc 22 - 21 aforan  
tes en el río Daró, cerca de Can Planes.



Ac - A

Foto 31. - Unidad Tc 21 - 23 en la trinchera del FFCC, -  
cerca de San Juan de Mollet.



Foto 32. - Coladas basálticas c-b <sup>7</sup>  $\beta$  <sub>c</sub> o en la Ctra. Gerona-  
La Bisbal, cerca de esta última localidad.



Foto 33. - Detalle de los conglomerados (Plioceno) en contacto con el material volcánico subyacente, cerca de Can Figaro casi en el límite de la hoja.

(Tcg<sub>c</sub><sup>B</sup>)



Ab<sub>2</sub> - Ab<sub>3</sub>

Foto 34. - Contacto materiales neógenos y la unidad T<sub>22</sub> - 23  
en la localidad de San Juan de Mollet.



Foto 35. - Detalle de las margas arcillosas del Turoliense inferior en Las Olivas.



Foto 36. - Basculamiento (Plio-Cuaternario) de los depósitos terciarios. En la base se observa una intrusión basáltica que afecta a los materiales más antiguos.



Foto 37.- Plioceno marino - Astiense -  $T_{B_2 - B_3}$  en la carretera  
21 - 21  
que va de San Miguel de Fluviá a San Morí, cerca de esta localidad.



Foto 38.- Panorámica de la unidad anterior en la Trinchera del FF.C.C. en San Mori.



Foto 39. - Aspecto general del Mioceno continental (Valle siense-Turolense) del Bajo Ampurdán-Can Férrer (Ctra. Gerona-La Junquera).



Foto 40. - Detalle de depósitos carbonáticos interpretados como paleosuelos.



Foto 41. - Acrección lateral de uno de los canales.



Foto 42. - Terraza cementada del Fluviá  $Q_1\ T_2$  "Turc" entre Vilademat y Ventalló, en las proximidades de Can Siurana.



Foto 43. - Panorámica tomada desde el castillo de San Julián de Ramis. Los relieves de la izquierda corresponden a depósitos paleozóicos sobre los que se apoya discordante el Paleógeno. Unidades:

$T_c \begin{smallmatrix} A - Ab_1 \\ 1 - 21 \end{smallmatrix}$ ,  $T \begin{smallmatrix} Ab_1 - Ab_1 \\ 21 - 22 \end{smallmatrix}$  y  $T \begin{smallmatrix} Ab_3 - Ab_1 \\ 21 - 22 \end{smallmatrix}$  y en el centro  $Q_2 \quad Al \quad Q_2 \quad T_3$



Foto 19. - Micropliegues en los esquistos paleozóicos. Ca  
rrera Nacional a la Junquera en el cruce del  
camino al Castillo de San Julián de Ramis.